

## 简 报

# 人 $\beta$ -干扰素重组质粒在 CHO-dhfr<sup>-</sup> 细胞中表达水平与 MTX 的关系

于 曼 李 彤 王 晓 鸣 王 嘉 垒

(军事医学科学院微生物流行病研究所, 北京 100850)

**关键词** 人  $\beta$ -干扰素重组质粒, 基因表达, 氨甲喋呤, 二氢叶酸还原酶缺乏, 中国仓鼠卵巢细胞

人 IFN $\beta$  基因编码序列与 pSV<sub>2</sub>-dhfr<sup>-</sup> 载体重组构建的由 SV<sub>40</sub> 早期启动子控制的组成性表达 cDNA 克隆, 转染 CHO-dhfr<sup>-</sup> 细胞, 用氨甲喋呤 (MTX) 逐渐加压, 观察其表达情况。二氢叶酸还原酶 (dhfr) 有一特性, 其基因拷贝数可在 MTX 的选择压力下扩增, 利用这一特性提高人 IFN $\beta$  基因的表达。我们分别把两个构建不同的 cDNA 克隆转染 CHO-dhfr<sup>-</sup> 细胞后, 观察 MTX 与表达水平的关系。

人 IFN $\beta$  基因与 pSV<sub>2</sub>-dhfr<sup>-</sup> 载体构建的二个表达载体转染 CHO-dhfr<sup>-</sup> 细胞后, 获得多株克隆, 其特点如下:

**1.87106克隆** 此克隆的主要特点是用 HindIII 酶制备去除 5' 端调控序列而保留 3' 端调控序列的 IFN $\beta$  基因编码片断, 大小为 0.768kb 与 pSV<sub>2</sub>-dhfr 载体的 HindIII 位点重组, 此克隆保留 dhfr 序列。

### 87106克隆:

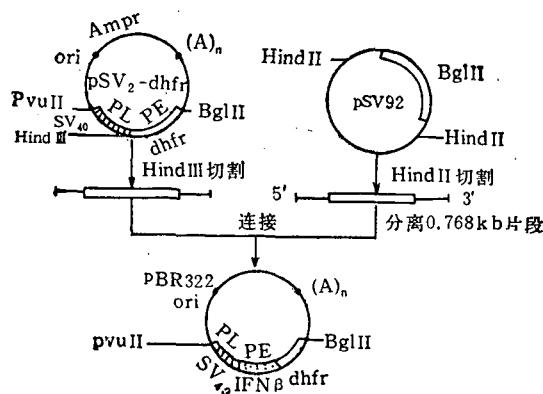


图 1

**2.8801克隆** 其特点是用 HindIII 与 BglII 酶制备去除 5' 端调控序列和 3' 端抑制转译序列的 IFN $\beta$  基因编码片段与 pSV<sub>2</sub>-dhfr<sup>-</sup> 的 HindIII 和 BglII 位点连接。此克隆去除了 dhfr 序列。

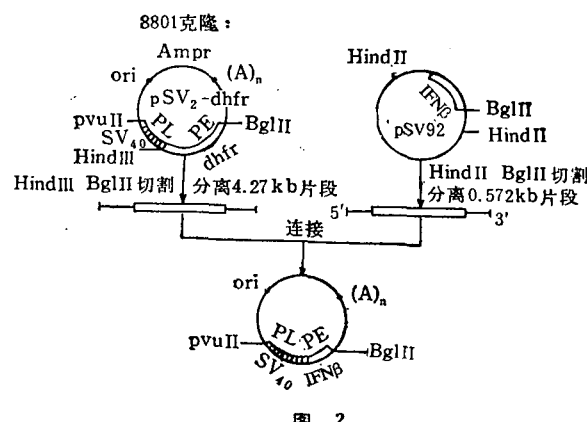


图 2

## 材料与方法

CHO-dhfr<sup>-</sup> 细胞: 侯云德教授惠赠; 氨甲喋呤 (MTX methotrexate): Sigma 产品; DMEM: GIBCO 产品; 重组质粒: 87106<sup>[1]</sup>, 8801

转染方法详见文献<sup>[2]</sup>。采用磷酸钙共沉淀方法转染 87106, 8801 质粒于 CHO-dhfr<sup>-</sup> 细胞。87106 质粒因本身带有 dhfr 基因, 故转染时不加 pSV<sub>2</sub>-dhfr 质粒, 而 8801 质粒则与 pSV<sub>2</sub>-dhfr 共转染。转染 24h 后更换选择培养基直至细胞克隆出现, 收取细胞培养液检测 IFN $\beta$  表达情况。选出的细胞克隆用 MTX 从 0.05  $\mu$ mol/L 开始递增加压进行筛选。

## 结果与讨论

转染到受体细胞内的外源基因必整合到宿主细胞的染色体上，在选择压力（MTX）的影响下，才能有效、持续、稳定的表达。因而我们从转染开始着手，对转染质粒的构型，加 MTX 的浓度、时间等做了摸索，找出最佳条件。

我们把待转染的 87106、8801 质粒分别以开环、闭环二种形式导入 CHO 细胞，将二种转染方法进行比较，见表 1。开环转染是用 EcoRI 酶将其转染克隆的链打开，以开链构型进行转染。

表 1 开闭环结构对转染率的影响

	质粒	质粒构型	转染细胞克隆（株）	转化率
87106	A <sub>1</sub>	开环	203	$1.02 \times 10^{-4}$
	A <sub>2</sub>	闭环	209	$1.05 \times 10^{-4}$
8801	B <sub>1</sub>	开环	193	$0.97 \times 10^{-4}$
	B <sub>2</sub>	闭环	289	$1.45 \times 10^{-4}$

从表 1 中可看出，开闭环方式转染，两者间无大差别，对转化率无大影响。有文献报告以开环形式的质

粒导入受体细胞后易被整合染色体，且转染率高，但我们所做的结果与此相反，似乎闭环的略好些。开环构型的质粒进入受体细胞后，易被受体细胞内核酸酶降解，如果不被降解，可能比闭环结构的易整合染色体，因本身是以开链的形式存在。8801 质粒以闭环的形式表达 IFN $\beta$  比 87106 高，8801 克隆耐受 MTX 的能力较 87106 强，见表 2。

当加压力至  $0.3 \mu\text{mol/L}$  时，约 50% 的细胞已耐受不住，以开环构型的 a<sub>1</sub>、b<sub>1</sub> 克隆尤其突出，而能耐受住的细胞克隆过此关后便生长良好。此时表达 IFN $\beta$  也较稳定。当选择压力加至  $0.60 \mu\text{mol/L}$  时，约 70—80% 的细胞已耐受不住，逐渐死亡。总之，每增加  $0.10 \mu\text{mol/L}$  的压力所转染的细胞克隆需适应一段时间。如在压力不变的情况下，一周之内适应不了，说明细胞已承受不了此浓度的压力。以开环结构转染的细胞克隆在  $0.30 \mu\text{mol/L}$  的压力下便耐受不住。我们共挑选了 48 株开环结构转染的细胞克隆，压力加至  $0.60 \mu\text{mol/L}$  后，则细胞全部死亡。无一株能存活。耐住压力的细胞克隆表达 IFN $\beta$ ，见表 3。

a<sub>3</sub>、b<sub>3</sub> 克隆株的表达随着压力的增高而渐上升，同时也受细胞的影响。细胞生长良好，旺盛时期表达 IFN $\beta$  的活性也高，并且表达的水平与细胞的数量有很大的关系， $2 \times 10^6$  细胞要比  $2 \times 10^5$  细胞表达高。细胞

表 2 87106 8801 克隆抗 MTX 能力

细胞克隆 MTX ( $\mu\text{mol/L}$ )		MTX 浓度下细胞存活率 (%)														
		0.05	0.15	0.30	0.40	0.60	0.74	0.82	1.40	1.56	1.60	1.72	2.05	3.05	3.60	
87106	a <sub>1</sub> (开)	50	25	0	0	0	0	0	0	0	0	0	0	0	0	0
	a <sub>2</sub>	95	50	25	65	10	5	0	0	0	0	0	0	0	0	0
	a <sub>3</sub>	98	90	60	80	15	50	20	10	20	40	80	60	85	85	85
	b <sub>1</sub> (开)	60	25	0	0	0	0	0	0	0	0	0	0	0	0	0
	b <sub>2</sub>	90	50	30	80	20	60	80	90	80	95	95	85	95	98	98
	b <sub>3</sub>	98	95	65	90	30	85	90	98	90	98	90	80	98	98	98

表 3 MTX 选择压力下 IFN $\beta$  表达活性

细胞克隆 MTX ( $\mu\text{mol/L}$ )		IFN $\beta$ 表达活性 ( $\text{u/ml}/48\text{h}$ )														
		0	0.15	0.30	0.40	0.60	0.74	0.82	1.40	1.56	1.60	1.72	2.05	2.35	3.05	3.60
87106	a <sub>1</sub> (开)	364.1	49.4	—	—	—	—	—	—	—	—	—	—	—	—	—
	a <sub>2</sub>	626.3	41.5	—	—	—	—	—	—	—	—	—	—	—	—	—
	a <sub>3</sub>	955.9	62.5	98	47	40	198.4	196	445	213	509	500	300	415	577	643
8801	b <sub>1</sub> (开)	500	41.5	—	—	—	—	—	—	—	—	—	—	—	—	—
	b <sub>2</sub>	955.9	37.3	63	206	56	375	125	445	350	500	425	199	488	788	881
	b <sub>3</sub>	955.9	165.6	299	348	80	250	140	499	213	416	573	394	535	998	1024

生长状况、数量与表达有一定关系。以  $b_3$  克隆为例，当在  $0.60 \mu\text{mol/L}$  压力下细胞生长较差，存活细胞只占 30% 时，表达也随之降低。从表 3 中看出  $a_3$ 、 $b_2$ 、 $b_3$  细胞克隆早期表达很理想，为什么突然降低，分析有几方面原因：① 拷贝数的迅速丢失。Kaufman, R. J. 等人报告<sup>[3]</sup>，外源基因转染往往也只有 1—5 个拷贝整合染色体，这为数不多的拷贝在无 MTX 的作用下会很快丢失。只有在 MTX 的压力下才能稳定存在逐渐增加，以此推断早加 MTX 对以后的稳定表达可能起一定的作用。 $a_3$ 、 $b_2$ 、 $b_3$  克隆是在转染后第 62 天才开始加压。② 细胞生长状况：细胞生长的好坏直接关系到 IFN $\beta$  的转录、翻译及分泌功能，因刚加 MTX，细胞不适应，约 1/3 的细胞被淘汰，细胞处在生长低落期，故也影响其表达。③ 暂时性表达：这种可能不大，暂时性表达只限于 80h 内。④ IFN $\beta$  本身就不太稳定， $\beta$  干扰素多肽一级结构第 17 位的半胱氨酸（Cys）影响其分子稳定性，对干扰素的活性发挥有一定的影响，如将其位点的 Cys 换成 Ser（丝氨酸），可使分子稳定<sup>[4]</sup>，而不影响其生物活性。我们也发现将放置一周后（4℃）的 IFN $\beta$  表达样品与放置（4℃）48h 的样品进行检测，放置一周的 IFN $\beta$  活性明显低于 48h

（上接第223页）

## 参 考 文 献

- 1 Chang L, Clifton P, Barter P et al. *Hepatology*, 1986; 6:46
- 2 Vanzetti G. *Clin Chim Acta*, 1964; 10: 389
- 3 Sahagian B, Levinet V E. *Clin Chem*, 1964; 10:

的，不知这是否与分子稳定性有关。

我们将二种不同构型的 IFN $\beta$  重组质粒转染 CHO-dhfr<sup>-</sup> 细胞进行比较，87106 质粒与 8801 质粒在 IFN $\beta$  编码序列的 5' 端构建上完全相同，均由 SV<sub>40</sub> 早期启动子调控，所不同的是 87106 保留了 3' 端全部序列，而 8801 则去除了 3' 端非编码区全部序列。Kruys, V. 等人报道了 3' 端的非翻译区（untranslated regions UTRs）对表达有抑制效应<sup>[5]</sup>。从上述的表达情况看 8801 似乎比 87106 略好些，但不甚理想。总之，基因表达是受诸方面因素影响，有许多问题还需继续研究，尤其是表达的稳定性尚需深入探讨。

## 参 考 文 献

- 1 王晓鸣等. 遗传学报, 1989; 16(4): 312
- 2 于曼等. 生物化学与生物物理进展, 1989; 16(3): 215
- 3 Kaufman R J et al. *Molecular and Cellular Biology*, 1983; 3(4):699
- 4 Mark D F et al. *PNAS*, 1984; 81: 5662
- 5 Kruys V et al., *PNAS* 1987; 84: 6023

〔本文于 1990 年 3 月 9 日收到，  
6 月 21 日修回〕

116

- 4 上海市医学化验所. 临床生化检验(上册). (上海: 上海科学技术出版社, 1979: 183)
- 5 Richmond W. *Clin Chem*, 1976; 22:1579
- 6 Yao T, Sato M, Kobayashi Y et al. *Anal Biochem*, 1985; 149:387

〔本文于 1990 年 1 月 16 日收到, 3 月 9 日修回〕